

ӘОЖ 541.135.7:669.35'5

Р.Н. НҮРДІЛЛАЕВА, А.Б. БАЕШОВ

ЖЕЗДІН НАТРИЙ ХЛОРИД ЕРІТІНДІСІНДЕГІ ЭЛЕКТРОХИМИЯЛЫҚ ЕРУ КИНЕТИКАСЫ МЕН МЕХАНИЗМІ

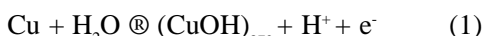
Жездін электрохимиялық қасиеті натрий хлориді ерітіндісінде потенциодинамикалық поляризациялық қисыктар түсіру арқылы зерттелді. Нейтрал ортадағы құйма компоненттері еруінің кинетикалық заңдылықтары және механизмдері қарастырылды. Үрдістің кинетикалық шамалары: диффузия коэффициентінің, тасымалдау санының, электродтық процестің жылдамдық константасының, реакция реті және активтендіру энергиясының мәндері есептелінді.

Потенциодинамикалық поляризациялық қисыктарды түсіру негізінде олардың ерітінді құрамы мен температураға және басқа да физика-химиялық параметрлерге тәуелділігін зерттеу, электрод бетіндегі жүретін үрдістердің табиғаты туралы толық мәлімет алуга мүмкіндік беретіні белгілі [1]. Поляризациялық қисыктардың формаларын жан-жақты талдау жасау – электрод-электролит фазааралық шекарасында жүретін тотығу-тотықсыздану реакцияларының жүру кинетикасы мен механизмін анықтауда мүмкіндік береді.

Осыған орай, Cu-Zn құймасы компоненттерінің электрохимиялық еруінің кинетикалық заңдылықтарын зерттеу мақсатында натрий хлориді ерітіндісінде жез электродының потенциодинамикалық режимде катодты, анодты және циклді поляризациялық қисыктары түсірілді.

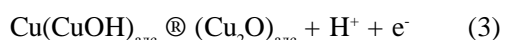
Негізгі вольтамперлік өлшеулер СВА-1БМ потенциостатында, 10mV/c потенциал өзгеру жылдамдығымен түсірілді, ал қисыктарды жазу Н307/1 планшетті қос координатты потенциометр-де іске асырылды. Вольтамперлік өлшеулердің әдістемесі [2] жұмыста толығымен көлтірілген. Салыстырмалы электрод қызметін күмісхлорлы ($E=+0,203\text{ В}$), көмекші электрод қызметін платина электроды атқарды. Ұсынылып отырған мақалада потенциалдардың мәндері, күмісхлорлы электродына салыстырып көлтірілді. Зерттеу жұмысында электрод материалы ретінде Cu-Zn құймасы – жез электроды (құрамы: Cu – 86%, Zn – 13,67%, коспалар мелшері – 0,33%) қолданылды.

Потенциалдың анод-катод бағытындағы циклдік өзгерісінде екі толқын байқалады, біріншісі (1-сурет, 1-қисық, а-максимумы) мыс (I) қосылыстарының түзілуін сипаттайды:



Бейтарап ортада жездін еру жылдамдығының күрт төмендеуі Cu_2O беттік тотықтың түзілуімен бай-

ланысты:



Анодты поляризация кезінде, электрод бетіндегі мыс (I) тотығы төменде көрсетілген механизм бойынша мыс (II) иондарын түзе еруі мүмкін:

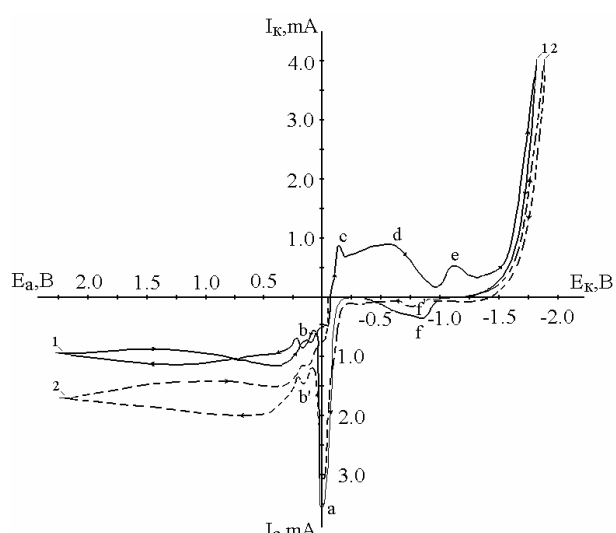


Екінші толқын (1-сурет, 1-қисық, b-максимумы), екі валентті мыс тотығының түзілуіне тәуелді деп жорамалдауда болады:

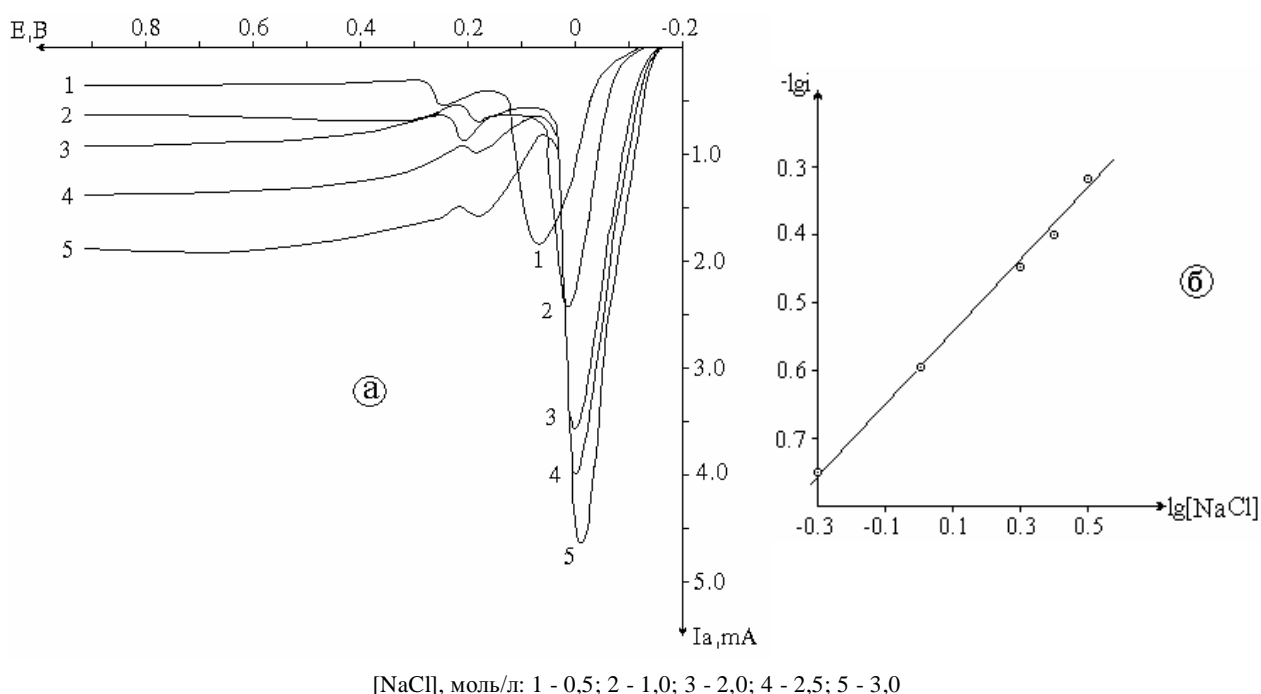


Бұл полярограммада, мырыштың тотығуы толқындары тіркелмейді.

Анодтан катодтық потенциалдар аумағына бағытталған вольтамперлік қисықта, үш толқын бай-



1-сурет. Жез электродының 2,0 моль/л натрий хлориді ерітіндісіндегі анод-катод (1) және катод-анод (2) бағытындағы циклді поляризациялық қисыктары



2-сурет. Натрий хлориді ерітіндісінің әртүрлі концентрацияларында түсірілген жез электродының анодты поляризациялық қисықтары (а) және NaCl ерітіндісі концентрациясы мен шектелген ток биіктігі логарифмдерінің тәуелділігі (б)

қалады. Стандартты электрод потенциалдарының мәнін негізге алсақ, бірінші толқын (1-сурет, 1-қисық, с-максимумы) мыс (II) тотығының мыс (I) оксидіне тотықсыздануына сәйкес келеді. Катод бағытындағы екінші толқын мыс (I) тотығының металдық мысқа толықсыздануын (1-сурет, 1-қисық, d-максимумы) өрнектейді. Ал, «минус» 1,1 ... 1,25 В потенциалдар аумағында мырыш (II) қосылышының металдық мырышқа дейін тотықсыздану толқыны тіркелді (1-сурет, 1-қисық, e-максимумы). Анодтық полярограммада мырыштың тотығу толқыны тіркелмегенмен, бұл оның анодты еритіндігінің дәлелі. Көрсетілген осы реакциялардың жүруі, полярограммадағы ток максимумдары арқылы айқын байқалады. Одан ары «минус» 1,5 В потенциалдар аумағында сутектің бөліну толқыны байқалады. Анодтық аумақта мырыштың тотығу толқыны байқалмағынмен, сутектің бөліну үрдісінен кейін анод бағытында потенциал бергенде, электрод бетінде тотықсызданған металдық мырыштың екі валентті қосылышына дейін қайта тотығу толқыны (1-сурет, 1-қисық, f-максимумы) полярограммада анық тіркелді.

Поляризациялық қисықты катод-анод бағытында түсіргенде (1-сурет, 2-қисық), полярограммада

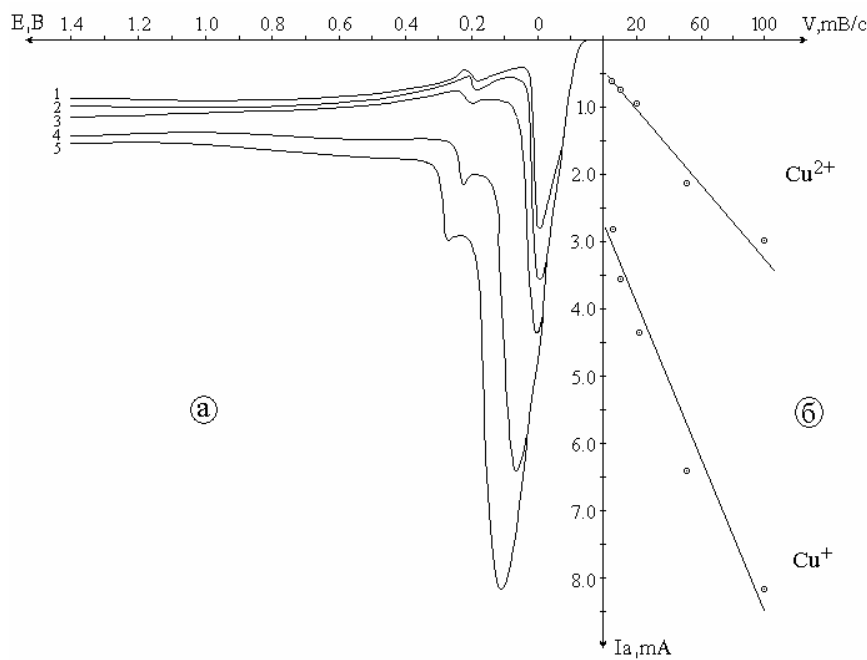
мырыштың әлсіз тотығу толқыны (f -максимумы) байқалады. Одан кейін анод бағытында мыстың тотығуын сипаттайтын (3, 7)-реакцияларға сәйкес екі толқын байқалып, негізгі үрдістер қайталанады.

Циклді режимдегі вольтамперограммалар нәтижелері әдеби деректердегі мәліметтерге сәйкес [3, 4], жез электродының анодтық еруі, негізінен құйма құрамындағы мыстың еруімен анықталатындығын көрсетті.

Натрий хлориді ерітіндісінің концентрациясын үлгайту, 2-суретте көрсетілгенде, занды түрде тотығу тогының биіктігін жоғарылатады. Тәжірибе нәтижелері негізінде $\text{lg}[\text{NaCl}] - \text{lg}i$ координатасында түсірілген тәуелділік – түзу сызықты. Осы тәуелділік бойынша есептелген реакция реті 1,01-ге тең.

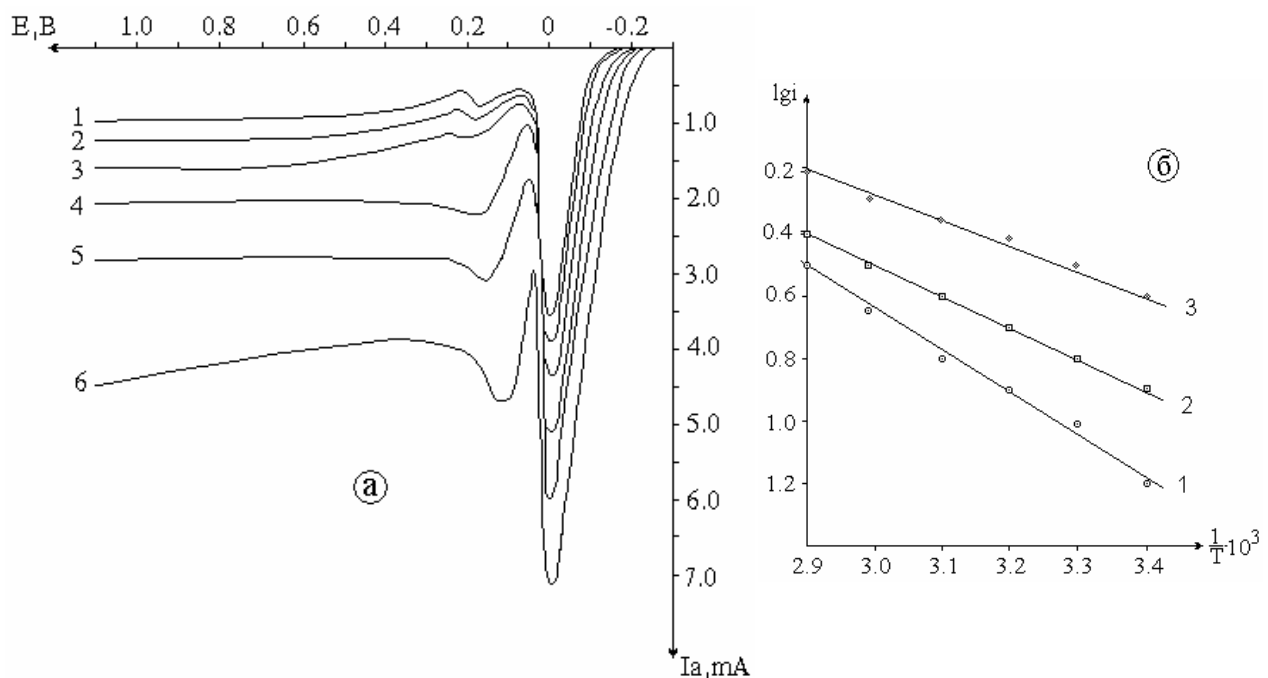
Жездің анодты тотығу қисықтары 5-100 мВ/с интервал аралығында түсіргенде, потенциалдың берілу жылдамдығының жоғарылауымен ток максимумы биіктігінің өсетіндігін көрсетті (3-сурет). Мұндай потенциалдың берілу жылдамдығы мен шектік ток мөлшері арасындағы байланыстың пропорциональды түрде өсуі, тотығу реакциялары жылдамдығының артатынын және диффузиялық режимде жүретіндігін көрсетеді.

Поляризациялық қисықтарды Галюс әдістемесі



Потенциал берілу жылдамдықтары (мВ/с): 1–5; 2–10; 3–20; 4–50; 5–100

3-сурет. Натрий хлориді ерітіндісіндегі (2,0 моль/л) потенциалдың әртүрлі берілу жылдамдықтарында түсірілген жез электродының анодты поляризациялық қисықтары



1 – $\Delta E = 0,3 \text{ В}$; 2 – $\Delta E = 0,35 \text{ В}$; 3 – $\Delta E = 0,4 \text{ В}$

Ерітінді температурасы (К): 1 – 293; 2 – 303; 3 – 313; 4 – 323; 5 – 333; 6 – 343

4-сурет. Натрий хлориді ерітіндісіндегі (2,0 моль/л) жез электродының әртүрлі температурадағы анодты поляризациялық қисықтары (а) және ерітінді температурасына totығу тогы байқтігі логарифмдерінің тәуелділігі (б)

бойынша [5, 6] өндөу негізінде – құйма құрамындағы мыс (I) және мыс (II) иондарының есептелген тасымалдау санының (a_n), диффузия (D) коэффициентінің және электродтық үрдістің жылдамдық константасының (k) мәндері сәйкесінше: $a_{n(Cu(I))} = 4,19 \cdot 10^{-2}$, $a_{n(Cu(II))} = 4,03 \cdot 10^{-3}$, $D_{Cu(I)} = 2,96 \cdot 10^{-4} \text{ см}^2/\text{с}$, $D_{Cu(II)} = 4,46 \cdot 10^{-6} \text{ см}^2/\text{с}$, $k = 3,21 \cdot 10^{-1} \text{ с}^{-1}$ құрады.

Электродтық поляризацияның табигаты, электрохимиялық реакция жылдамдығына температураның әсерін зерттеу арқылы анықталуы мүмкін. Осыған орай, зерттеу жұмысымызда, жездің тотығуына температураның әсері қарастырылды (4-сурет). Ерітінді температурасын 293-303 K аралығында өзгерктенде, күйманың тотығу тогының бійктігі заңды түрде артады.

Шешуші кезеңде химиялық реакциялардың жылдамдығы, активтендіру энергиясымен анықтатыны белгілі. Температуры-кинетикалық әдіспен анықталған активтендіру энергиясының мәні $DE=0,04$ В үшін 13,83 кДж/мол, $DE=0,07$ В үшін 18,08 кДж/мол, $DE=0,10$ В үшін 26,47 кДж/мол, ал орта мәні 19,46 кДж/мол шаманды құрады. Бұл жүріп жатқан электрохимиялық реакцияның диффузиялық режимде жүретінін және үрдістің біртіндеп кинетикалық аумаққа ығысатының көрсетеді.

Сонымен, алғаш рет жez электродының электрохимиялық қасиеті потенциодинамикалық поляризациялық қисықтарын түсіру арқылы жан-жақты зерттеліп, оның натрий хлориді ерітіндісіндегі тотығу механизмдерінің ерекшеліктері көрсетілді. $I_{gi} - I_{g[NaCl]}$ тәуелділігі бойынша реакция реті (n) және активтендіру энергиясы ($E_{акт.}$), тасымалдау (a_n) санының, диффузия (D) коэффициентінің және электродтық үрдістің жылдамдық константасының (k)

мәндері есептелінді.

ӘДЕБІЕТ

1. Антропов Л.И. Теоретическая электрохимия. М.: Высш. школа, 1975. – 560 с.

2. Баевов А.Б., Нұрділаева Р.Н Cu-Zn құймасының электрохимиялық қасиетін натрий сульфаты ерітіндісінде потенциалды динамикалық поляризациялық қисықтар түсіру арқылы зерттеу // КР ҮғА Хабаршысы. 2005. № 4. С. 135-140.

3. Рылкина М.В., Селезнева Ю.Г., Решетников С.М. Анодное поведение Cu-Zn-сплавов в перхлоратных средах / / Защита металлов. 2000. Т. 36. № 5. С. 494-500.

4. Ларин В.И., Хоботова Э.Б., Доброян М.А. и др. Электрохимическое поведение латуни Л-62 в растворах различного состава // Вестник Харьковского национального университета. Серия хим. 2001. № 33. С. 115-118.

5. Галюс З. Теоретические основы электрохимического анализа. М.: Мир, 1974. 552 с.

6. Гороховская В.И., Гороховский В.М. Практикум по электрохимическим методам анализа. - М.: Высш. школа, 1983. 191 с.

Резюме

Исследовано электрохимическое поведение латуни путем снятия потенциодинамических поляризационных кривых в растворе хлорида натрия. Рассмотрены кинетические закономерности и механизмы растворения компонентов сплава в нейтральной среде. Рассчитаны кинетические величины процесса: коэффициент диффузии и числа переноса, константы скорости электродного процесса, порядок реакции, энергия активации электродного процесса.